

## 第六章习题《基础物理 I 波动理论导引》

**习题 6.1:** 筋疲力尽的旅行者经常在远处看到一个虚幻的“湖”，称为海市蜃楼现象。沙漠中的热沙将空气加热到接近地面的位置，从而形成一层密度较小且折射率较低的空气。在  $20^\circ\text{C}$  温度下，可见光区域的空气折射率约为 1.000271374，而在  $35^\circ\text{C}$  时约为 1.000257559。求空气界面的全反射角，并解释海市蜃楼现象的物理原因。

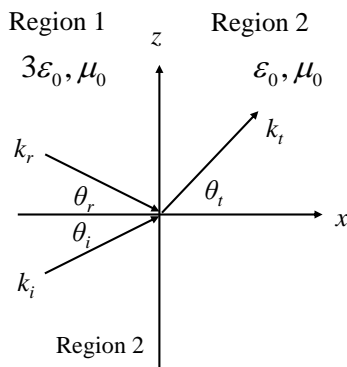
**解:**  $\theta_c = \sin^{-1}(n_2/n_1) = 89.7^\circ$ 。

**习题 6.2:** 太阳光照射到平面反射后变为部分线性偏振光。试求：(a) 当透射介质介电常数为  $\varepsilon_t = 9\varepsilon_0$ ，求布鲁斯特角和反射后光的偏振特性。(b) 偏光太阳镜可以吸收特定的线偏振光，让特定偏振光透透镜片，试解释这一现象。

**解:** (a) 布鲁斯特角  $\theta_B = \tan^{-1} \sqrt{\varepsilon_t} = \tan^{-1} \sqrt{9} = 71.57^\circ$ ，反射为 TE 光。

(b) 偏光太阳镜可以有效吸收 TE 入射波，TM 波可以穿过镜片被人眼接收。

**习题 6.3:** 如图所示，一个平面波从  $\varepsilon = 3\varepsilon_0$  的半无限大介质区域入射到空气。



试求：

(1) 区域 1 的布鲁斯特角；

(2) 假设透射电场为

$$\vec{E}_t = \hat{y} \frac{E_0}{\sqrt{2}} \exp(-jk_{tx}x - jk_{tz}z) + E_0 \frac{\hat{z} - \hat{x}\sqrt{3}}{2\sqrt{2}} \exp\left(-jk_{tx}x - jk_{tz}z + j\frac{\pi}{2}\right)$$

求 (i) 入射角  $\theta_i$  和透射角  $\theta_t$ ；

(ii) 求透射波的极化状态，如果是圆极化波，请说明旋性；

(iii) 求反射波的极化状态，如果是圆极化波，请说明旋性；

(iv) 给出入射波和反射波电场的表达式  $\vec{E}_i$  和  $\vec{E}_r$

(v) 写出入射波、反射波和透射波的坡印廷矢量，并说明能量守恒。

解：

$$(1) \text{ 布鲁斯特角是 } \theta_B = \tan^{-1} \frac{\sqrt{\epsilon_0}}{\sqrt{3\epsilon_0}} = \tan^{-1} \frac{1}{\sqrt{3}} = 30^\circ$$

(2) 根据透射电场表达式，我们有

$$\vec{k}_t \cdot \vec{E}_t = (\hat{x}k_{tx} + \hat{z}k_{tz}) \cdot \left( \frac{\hat{z} - \hat{x}\sqrt{3}}{2\sqrt{2}} \right) = 0 \Rightarrow k_{tz} = \sqrt{3}k_{tx}$$

$$(i) \text{ 透射角 } \theta_t = \tan^{-1} \frac{k_{tz}}{k_{tx}} = \tan^{-1} \sqrt{3} = 60^\circ$$

$$\text{根据折射定律: } \frac{\sin \theta_i}{\sin \theta_t} = \frac{n_2}{n_1} = \frac{1}{\sqrt{3}} \Rightarrow \text{入射角 } \theta_i = \sin^{-1} \left( \frac{1}{\sqrt{3}} \sin 60^\circ \right) = 30^\circ$$

$$(ii) \vec{E}_t = E_0 \left[ \hat{y} \frac{1}{\sqrt{2}} + j \left( \frac{\hat{z} - \hat{x}\sqrt{3}}{2\sqrt{2}} \right) \right] \exp(-jk_{tx}x - jk_{tz}z)$$

$$\vec{E}_R = \hat{y} \frac{1}{\sqrt{2}}, \quad \vec{E}_t = \frac{\hat{z} - \hat{x}\sqrt{3}}{2\sqrt{2}}, \quad \vec{E}_R \times (-\vec{E}_t) = \hat{y} \frac{1}{\sqrt{2}} \times \frac{\hat{x}\sqrt{3} - \hat{z}}{2\sqrt{2}} = \frac{1}{2} \left( -\hat{z} \frac{\sqrt{3}}{2} - \hat{x} \frac{1}{2} \right) \propto -\vec{k}_t$$

随着时间变化，电场矢量从  $\vec{E}_R$  转向  $-\vec{E}_t$ ，作图根据关系可知透射波是左旋圆极化波。

(iii)

$\theta_i + \theta_t = 90^\circ$ ，因此是布鲁斯特角，TM 波全透射，反射波为 TE 波。

(iv)

TE 波的反射和透射系数为

$$R^{TE} = \frac{\eta_2 \cos \theta_i - \eta_1 \cos \theta_t}{\eta_2 \cos \theta_i + \eta_1 \cos \theta_t} = \frac{\sqrt{3} \cos 30^\circ - \cos 60^\circ}{\sqrt{3} \cos 30^\circ + \cos 60^\circ} = \frac{1}{2}$$

$$T^{TE} = \frac{2\eta_2 \cos \theta_i}{\eta_2 \cos \theta_i + \eta_1 \cos \theta_t} = \frac{2\sqrt{3} \cos 30^\circ}{\sqrt{3} \cos 30^\circ + \cos 60^\circ} = \frac{3}{2}$$

根据边界条件，TM 波全透射，反射为 0，利用 TM 波横向电场连续，电场方向

与  $\mathbf{k}$  波矢方向垂直的条件（入射波矢  $\vec{k}_i = \hat{x}k_{ix} + \hat{z}k_{iz} = \left( \hat{x} \frac{\sqrt{3}}{2} + \hat{z} \frac{1}{2} \right) \sqrt{3}k_0$ ），得到因此

入射波表达式为

$$\vec{E}_i = \hat{y} \frac{2E_0}{3\sqrt{2}} \exp(-jk_{ix}x - jk_{iz}z) + E_0 \frac{\hat{z} - \hat{x}/\sqrt{3}}{2\sqrt{2}} \exp\left(-jk_{ix}x - jk_{iz}z + j\frac{\pi}{2}\right)$$

反射波表达式为

$$\vec{E}_r = \hat{y} \frac{E_0}{3\sqrt{2}} \exp(-jk_{rx}x - jk_{rz}z)$$

(v)

$$r^{TE} = \frac{-\hat{x} \cdot \langle \vec{S}_r \rangle}{\hat{x} \cdot \langle \vec{S}_i \rangle} = |R^{TE}|^2 = \frac{1}{4}$$

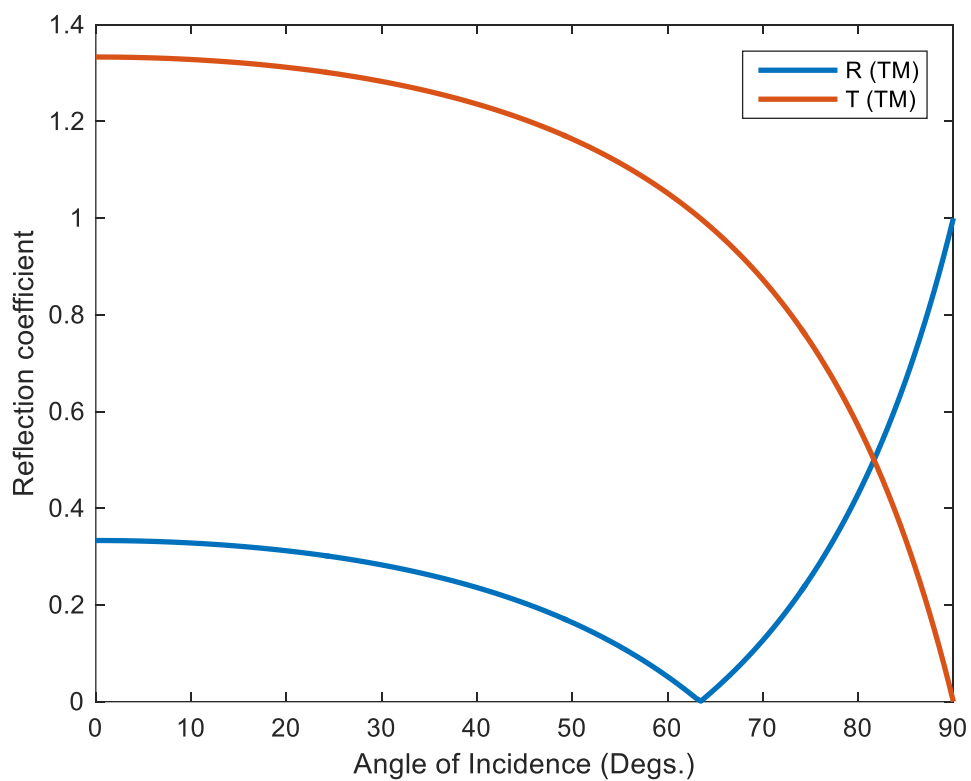
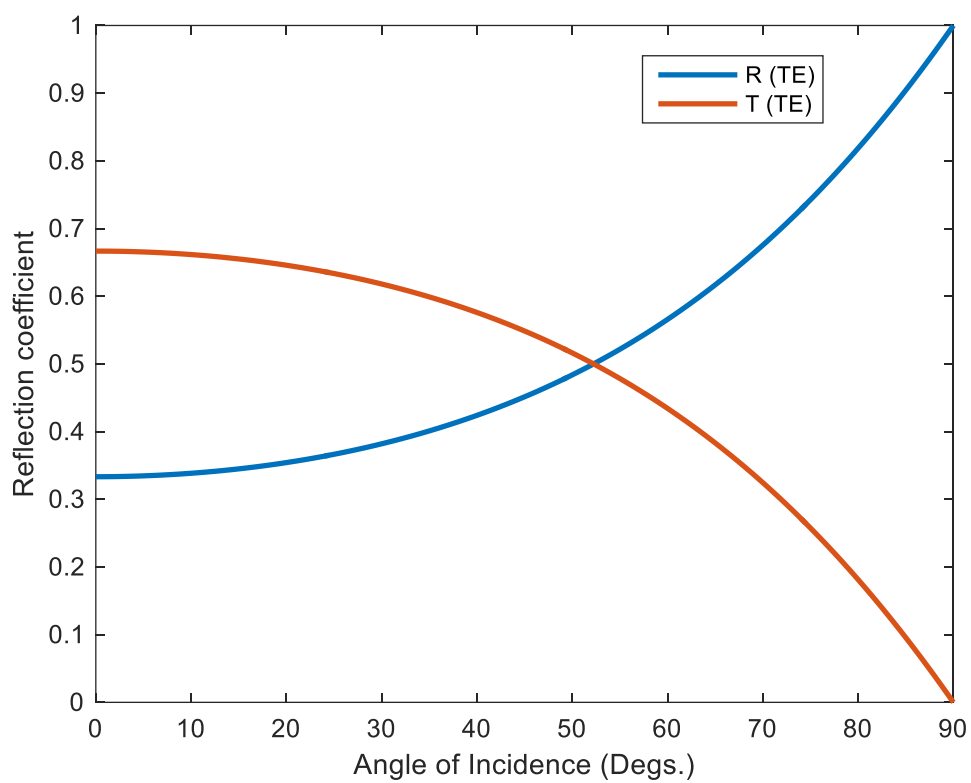
$$t^{TE} = \frac{\hat{x} \cdot \langle \vec{S}_t \rangle}{\hat{x} \cdot \langle \vec{S}_i \rangle} = \frac{\eta_1 \cos \theta_t}{\eta_2 \cos \theta_i} |T^{TE}|^2 = \frac{1}{\sqrt{3}} \frac{\cos 60^\circ}{\cos 30^\circ} \left| \frac{3}{2} \right|^2 = \frac{3}{4}$$

$\Rightarrow r^{TE} + t^{TE} = 1$ ，因此 TE 波能量守恒

TM 波为全透射，易得能量守恒。

**习题 6.4:** 平面波从空气入射到介电常数  $\varepsilon = 4\varepsilon_0$  的半无限大区域，分别绘制 TE 波和 TM 波的透射谱和反射谱随入射角度变化的曲线，从曲线中标出全反射角和布鲁斯特角。（提示：可以用 MATLAB 工具计算，描出曲线）。

解：



画图代码:

```
clear all; close all; clc;
```

```
n1 = 1; n2 = 2; Z12 = n2/n1;
```

```

theta_i = [0:0.5:90]/180*pi;
theta_t = asin(sin(theta_i)*n1/n2);
R_TE = (cos(theta_i)-cos(theta_t)*Z12)./(cos(theta_i)+cos(theta_t)*Z12);
T_TE = (2*cos(theta_i))./(cos(theta_i)+cos(theta_t)*Z12);
R_TM = (cos(theta_i)*Z12-cos(theta_t))./(cos(theta_i)*Z12+cos(theta_t));
T_TM = (2*cos(theta_i)*Z12)./(cos(theta_i)*Z12+cos(theta_t));
figure; hold on; box on;
h1 = plot(theta_i*180/pi,abs(R_TE));
h2 = plot(theta_i*180/pi,abs(T_TE));
h1.LineWidth = 2; h2.LineWidth = 2;
xlabel('Angle of Incidence (Degs.)');
ylabel('Reflection coefficient');
legend('R (TE)', 'T (TE)');
figure; hold on; box on;
h1 = plot(theta_i*180/pi,abs(R_TM));
h2 = plot(theta_i*180/pi,abs(T_TM));
h1.LineWidth = 2; h2.LineWidth = 2;
xlabel('Angle of Incidence (Degs.)');
ylabel('Reflection coefficient');
legend('R (TM)', 'T (TM)');

```